

TERESA CZYŻEWSKA

NOWY GATUNEK JELENIA RODZAJU *CERVOCERUS* KHOMENKO
Z PLIOCEŃSKIEJ BREKCJI KOSTNEJ Z WĘŻÓWStudia nad trzeciorzędową fauną brekcji kostnej
w miejscowości Węże koło Działoszyna

CZEŚĆ XIII*

Streszczenie. — Autorka podaje opis szczątków małego jelenia, pochodzących z plioceńskiej brekcji kostnej z Wężów. Opracowywany materiał składa się z niepełnych czaszek z uzębieniem, żuchw z zębami oraz z fragmentów poroży. Jedna z czaszek posiada zachowane prawie kompletne poroże. Po przeprowadzeniu porównania szczątków z Wężów ze współczesną sarną i z kopalnymi jeleniami z pliocenu i dolnego plejstocenu, autorka dochodzi do wniosku, że mały jelen z Wężów należy do nowego gatunku rodzaju *Cervocerus*.

WSTĘP

Tematem niniejszej pracy jest opis szczątków kostnych małego jelenia, wydobytych z brekcji kostnej wypełniającej małą jaskinię w wapieniu jurajskim w okolicach wsi Węże k. Działoszyna. Jelen ten został zaliczony do nowego gatunku rodzaju *Cervocerus*. Studium to należy do szeregu prac, w których jest opisywana fauna znaleziona w tej miejscowości, i jest dalszym ciągiem opracowania szczątków jeleni (Czyżewska, 1959).

Nagromadzenie kości jeleni w jaskini w Wężach powstało przypuszczalnie w następujący sposób. Jaskinia, niezbyt głęboka, była zamieszki-

* Części I-V — *Acta Geol. Pol.*, vol. II-V/1952—55; części VI-XII — *Acta Palaeont. Pol.*, vol. I-IV/1956—59.

wana stale lub okresowo kolejno przez różne drapieżniki: *Ursus*, *Agriotherium*, *Arctomeles* i in. Zwierzęta te ściągały w pobliże swych legowisk zdobycz (całe upolowane zwierzęta lub ich części), która stanowiła ich pożywienie. Pozostałością zerowania drapieżników jest większość połamanych kości zwierząt kopytnych, przede wszystkim jeleni. Przypuszczenie to opieram na szczególnym stanie zniszczenia i zachowania kości: 1) prawie wszystkie czaszki mają otwarte wewnątrz jamy mózgowej od strony otworu potylicznego albo od podstawy czaszki, 2) na okazy Nr 324 — fragment dolnej części poroża z rózą — widać ślad gryzienia zębem dużego drapieżnika¹, 3) brak większych fragmentów szkieletów zestawionych z kilku kości, jakie musiałyby się zachować, gdyby zwierzęta ginęły z powodu wypadku, np. zabijały się wpadając do głębokiej szczeliny. Przypuszczenie to pozwala również wyjaśnić fakt znacznej przewagi kości osobników młodocianych (Czyżewska, 1959). Drapieżniki, których szczątki zachowały się w brekcji z Węzów, z wyjątkiem *Agriotherium*, są małe albo zaledwie średnich rozmiarów. Zdobyczą ich nie mogły być zwierzęta duże i silne. Ofiarą padały przede wszystkim osobniki młode (jelenie bez poroża) i słabsze (np. jelenie w okresie zmiany poroża). Prawdopodobnie niektóre z tych drapieżników były też padlinożercami.

Sposób opracowania i terminologia są zasadniczo takie same, jak w pracy o *Cervocerus* i *Cervus (Rusa)* sp. (Czyżewska, 1959). Ze względu na charakter poroża używam określenia „pierwsze i drugie odgałęzienie”, zamiast „odgałęzienie nadoczne i środkowe”. Szczątki *Cervocerus* zachowane są bardzo fragmentarycznie, nie można więc było obliczyć wskaźników charakteryzujących czaszkę. Posługiwałam się tym samym współczesnym materiałem porównawczym, co w pracy poprzedniej, uzupełnionym przez czaszki i poroża sarny europejskiej i syberyjskiej oraz czaszkę *Muntiacus* z porożem. Systematykę rodziny Cervidae przyjął zgodnie z pracą Simpsona (1945) i Ellermana & Morrison-Scotta (1951), zaś charakterystykę wieku poszczególnych stanowisk opieram na pracy Theniusa (1959).

Składam serdeczne podziękowanie profesorowi R. Kozłowskiemu, kierownikowi Zakładu Paleozoologii PAN, za powierzenie mi materiału jeleni z Węzów do opracowania i łaskawe zainteresowanie postępami mojej pracy, a profesorowi Zb. Ryziewiczowi, kierownikowi Zakładu Paleozoologii Uniw. Wrocławskiego, za przychylną opiekę nad całością pracy i krytyczne uwagi. Zdjęcia fotograficzne wykonała p. M. Czarnocka, a rysunek zęba P₄ — mgr A. Sulimski, za co im również uprzejmie dziękuję.

¹ Rzeźba powierzchni tego fragmentu jest bardzo wyraźna, przypuszczam więc, że był to róg świeżo wyrastający, osłonięty jeszcze skórą.

CZEŚĆ OPISOWA

Rodzina *Cervidae* Gray, 1821
Podrodzina *Cervinae* Baird, 1857
Rodzaj *Cervocerus* Khomenko, 1913
Cervocerus wenzensis n. sp.

Materiał

Do opracowania małego jelenia z Węzów wybrałam szczątki, należące tylko do osobników dorosłych tego gatunku. Są to:

1) 9 fragmentów czaszek: a) okaz Nr 220 — część czaszki samca z przedtrzonowcami i porożem, prawy róg jest ułamany poniżej pierwszego odgałęzienia. Do okazu tego należą fragmenty żuchwy oznaczone Nr 220a, holotyp; b) okaz Nr 345 — uszkodzona czaszka bezroga, ♀, z uzębieniem, paratyp; c) okazy Nr 342 i 395 — fragmenty sklepienia dwu czaszek samic. Zachowane są kości czołowe i ciemieniowe; d) okazy Nr 338, 357, 367 — podobne do poprzednich fragmenty sklepienia czaszek samców. Na dwu ostatnich okazach zachowały się nasady rogów; e) okazy Nr 171 i 346 — okolica potyliczna z bulla tympanica;

2) 9 fragmentów górnych szczęk z zębami (okazy Nr 234, 237, 300, 346, 357, 394, 396, 397, 400) i 22 luźne zęby. Tylko na okazach Nr 394 i 400 szereg zębów policzkowych jest pełny. Do okazu Nr 400 należy żuchwa Nr 400a;

3) 12 fragmentów żuchw z zębami i 22 luźne zęby (okazy Nr 57, 137, 139, 141, 154, 220a, 248, 305, 360, 389, 400a, 405). Okaz Nr 220a posiada kompletny szereg zębów i całą diastemę między P_2 i kłem, Nr 360 i 400a mają kompletny szereg zębów, a Nr 305 — częściowo zachowaną okolice proc. angularis i articularis;

4) 10 fragmentów poroży (okazy Nr 220, 324, 328—333, 358, 392). Najkompletniejsze są rogi okazu Nr 220.

Razem 39 fragmentów, nadto 44 luźne zęby.

Większość okazów została wypreparowana z brekcji szarej (Samsonowicz, 1934), która znajdowała się w leju krasowym w Węzach, pod warstwą brekcji o zabarwieniu czerwonym.

Czaszka

(pl. I; pl. II, fig. 1; pl. III; pl. IV, fig. 1)

Spośród okazów czaszek najlepiej zachowane są czaszki: Nr 220 z porożem i Nr 345 czaszka bezroga, mające uzębienie o koronach jeszcze niestartych. Brak na tych okazach okolicy potylicznej, przedniej części pyska, tzn. kości przedszczękowych i części kości nosowych. Kości szczękowe

obu okazów są uszkodzone. Okaz Nr 220 ma tylko przednie części szczęk z przedtrzonowcami, natomiast prawy bok czaszki okazu Nr 345 jest tak silnie zgnieciony, że został uszkodzony oczodoł i dół łzowy, a szczęka z szeregiem zębów jest wciśnięta ku środkowi podniebienia. Kości lewej strony znajdują się w swoim normalnym położeniu. Pomiary dokonane na tych okazach oraz na innych fragmentach, w szczególności pomiary szeregu zębów, wskazują na to, że jelen z Węzów był niewiele większy od sarny.

Okolica czołowa jest zachowana na siedmiu okazach (Nr 220, 345, 338, 342, 357, 367, 395), przy czym frontale jest mniej lub więcej uszkodzone. Kość czołowa jest raczej szeroka, szczególnie w czaszkach samców; w tyle — od połowy oczodołu począwszy ku tyłowi — słabo wysklepiona. Sulcus supraorbitalis dość głęboki, ciągnie się ku tyłowi od małego pojedynczego foramen supraorbitale. Górny brzeg oczodołu wydatnie wystaje na bok. Odległość od sulcus supraorbitalis do krawędzi oczodołu na okazie Nr 395 (czaszka bezroga) wynosi 21,7 mm. Nasady rogów (Nr 220, 357, 367, 392) są przechylone ku tyłowi za oczodołami; nasada rogu, na okazie Nr 367, przechyla się lekko ku linii środkowej i jest bardzo cienka (średnica 14×12 mm); przypuszczalnie był to osobnik młody. Natomiast nasady rogów osobników starszych (Nr 220, 392) są odchyłone ku stronie zewnętrznej i odpowiednio grubsze. Pomiary nasad okazu Nr 220 są następujące: średnica u podstawy $20,5 \times 20$; średnica poniżej rózły $18,7 \times 18,7$; długość powyżej frontale po stronie wewnętrznej 25,5 mm.

Tabela 1

Pomiary frontale (w mm)
Mensurations du frontal (en mm)

Pomiary Mensurations		Węże					
		nr 338 ♂	nr 220 ♂	nr 367* ♂	nr 395 ♀	nr 342 ♀	nr 345 ♀
Szerokość frontale Largeur du frontal	w przewężeniu za oczodołami au rétrécissement postorbitaire	±98,0	±80,0	±64,0	64,0	56,0	51,0
	między forami- na supraorbi- talia entre les fora- mens supraorbi- taires	±60,0	47,0	—	47,0	41,0	40,0

* Fragment należy do osobnika młodego, przypuszczalnie z pierwszym porożem.
Ce fragment appartient à un individu jeune ayant probablement les premiers bois.

Pomiary kości czołowej jelenia z Węzów zostały przedstawione w tabeli 1.

Oczodoł wydaje się stosunkowo duży, ale jego średnica przednio-tylna jest krótsza od maksymalnej długości przednio-tylnej kości łzowej. Część twarzowa kości łzowej jest zajęta w większości przez dół łzowy, przesunięty blisko do brzegu orbity. Dół łzowy średniej wielkości (okaz Nr 345 — długość 25 mm, głębokość 8 mm; okaz Nr 220 — długość 27,5 mm, głębokość 10 mm), dość głęboki, o wyraźnie trójkątnym kształcie, oddzielony jest od hiatus lacrimalis prostym, skośnie ustawionym brzegiem. Brzeg ten nie jest zgrubiały, jak to jest u *Cervus elaphus* czy *Dama*, ale cienki jak u *Pseudaxis* czy *Rusa* (Knottnerus-Meyer, 1907). Przedni brzeg lacrimale leży ponad P₃. Położenie foramina lacrimalia jest następujące: górny otwór jest przesunięty trochę do wnętrza oczodołu, dolny zaś leży też w pobliżu krawędzi oczodołu, lecz na części twarzowej lacrimale, tzn. przesunięty jest na zewnątrz (okaz Nr 220), tworząc głębokie wycięcie. Podobne stosunki znajdujemy w czaszce *Muntiacus* (Flerow, 1952). Hiatus lacrimalis ciągnie się wzdłuż całego skośnego brzegu kości łzowej, ale jest raczej wąski.

Pomiary oczodołu i lacrimale przedstawiono w tabeli 2.

Tabela 2

Pomiary oczodołu i lacrimale (w mm)
Mensurations de l'orbite et du lacrymal (en mm)

Pomiary <i>Mensurations</i>	Węże	
	nr 345 ♀	nr 220 ♂
Średnica przednio-tylna oczodołu <i>Diamètre antéro-postérieur de l'orbite</i>	35,5	41,0
Długość przednio-tylna lacrimale <i>Longueur antéro-postérieure du lacrymal</i>	±44,0	—
Długość przednio-tylna części twarzowej lacrimale <i>Longueur antéro-postérieure de la partie faciale du lacrymal</i>	35,2	40,0
Długość hiatus lacrimalis <i>Longueur du hiatus lacrymal</i>	±37,6	±43,0

Maxilla tworzy dolny brzeg fossa lacrimalis. Wgłębienie dołu łzowego mieści się prawie w całości na lacrimale, a górna szczęką jedynie ogranicza je od dołu. Wysokość szczęki poniżej fossa lacrimalis jest niewielka (24-25 mm). Wygięcie szeregu zębów policzkowych, P²-M³, podobne jak u młodego *Pseudaxis* (fig. 1). W przedniej części szczęki margo interal-

veolaris, biegnąca od P² do C, wygina się ku linii medialnej znacznie słabiej, niż u *Muntiacus*. U jelenia z Węzów (okaz Nr 220) najmniejsza odległość między krawędziami prawej i lewej strony wynosi 14 mm i jest większa od długości P² (w Nr 220 długość P²-12,4 mm), a u *Muntiacus* odległość ta jest mniejsza od długości P² (wymiar odpowiednio 6,5 i 9 mm). Krawędzie te u jelenia z Węzów są wygięte podobnie jak u młodego *Pseudaxis*. U innych współczesnych jeleni, np. *Cervus elaphus* czy *Capreolus*, odległość ta jest stosun-

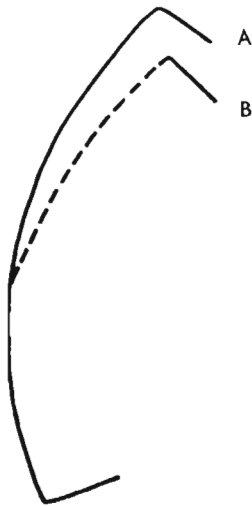


Fig. 1. — Schemat przedstawiający wygięcie szeregu zębów P²-M³ u A *Cervocerus wenzensis* n. sp. (okaz Nr 345) i B *Pseudaxis* juv.; wielk. nat.

kowo znacznie większa. Pomiarzy szczęki górnej, porównane z niektórymi współczesnymi jeleniami, podane są w tabeli 3.

Tabela 3
Pomiary maxilla (w mm)
Mensurations du maxillaire (en mm)

Pomiary <i>Mensurations</i>	Węże		<i>Pseudaxis</i> juv. ♂	<i>Muntiacus</i> ♂	<i>Capreolus</i> ♂
	nr 345 ♀	nr 220 ♂			
Wysokość maxilla nad P ⁴ <i>Hauteur du maxillaire au-dessus de P⁴</i>	24,0	25,0	20,0	23,0	38,2
Odległość C (alveola) — P ² <i>Distance C (alvéole) — P²</i>	—	33,4	34,0	26,5	31,5
Najmniejsza odległość między margo interalveolaris sin. et dext.* <i>Distance minima entre margo interalveolaris sin. et dext.</i>	—	14,0	12,5	6,5	20,0

* Długość P² u jelenia z Węzów, nr 220, wynosi 12,4 mm, u *Pseudaxis* juv. — 9,4 mm, u *Muntiacus* i *Capreolus* — 9,0 mm.

Longueur du P² chez le cerf de Węże, no. 220, — 12,4 mm, chez Pseudaxis juv. — 9,4 mm, chez Muntiacus et Capreolus — 9,0 mm.

Szerokości podniebienia nie można dokładnie ustalić. Przypuszczam, że mimo dość znacznego wygięcia szeregu zębów, największa szerokość podniebienia była mniejsza od długości szeregu zębów P²-M³.

Nasalia na wszystkich okazach są zniszczone, jedynie w czaszce Nr 220 zachowały się ich duże fragmenty. Na tym okazie widać, że nasalia nie dochodziły do linii łączącej przednie brzegi oczodołów, tylny ich brzeg bowiem był odległy od tej linii o około 10 mm.

Na okazie Nr 171 zachowana jest, oprócz okolicy potylicznej, prawa bulla tympanica. Puszka jest nieduża, raczej gładka, wypukła, nie wystaje prawie ponad basioccipitale; od strony basioccipitale puszka jest zaokrąglona. Bulla tympanica jest podobna do tejże u daniela. Processus muscularis mały. Przewód słuchowy zewnętrzny jest wydłużony, ale bez śladów grzebienia. Pomiaru okazu Nr 171 są następujące (w mm):

szerokość potylicy największa ²	58,0
długość przednio-tylna bulla tympanica	23,0
największa szerokość bulla tympanica	17,8
długość przewodu słuchowego	24,5

Czaszki małego jelenia z Węzów odznaczają się słabym uwypukleniem czoła nad oczodołami, przez co profil ich jest prawie równy. Nadto najbardziej kompletna czaszka Nr 345 jest stosunkowo miska i wąska (w porównaniu z młodym *Pseudaxis*: wysokość 70 mm, szerokość 61 mm). Wysokość tej czaszki między basioccipitale a najwyższym punktem na frontale (na linii for. supraorbitalia) wynosi ± 52 mm. Długość przypuszczalna wynosiła około 200 mm, szerokość za oczodołami 54 mm. Wymiary te są jedynie przybliżone i dają tylko ogólne pojęcie o kształcie czaszki.

Uzębienie i żuchwa

(pl. II, fig 1, 2; pl. IV, fig. 1)

Budowa zębów i niskie ich korony (podobnej wysokości jak w zębach sarny), a także ścianki zębów mocno nachylone nadają im pierwotny charakter.

Na fragmencie czaszki samca Nr 220 widać alveolę dość dużego kła o wymiarach $5,7 \times 6,2$ mm.

We wgłębieniach górnych przedtrzonowców znajdują się blaszki emalii skierowane ku tyłowi, ścianki dojęzykowe są poprzedzielane płytkami rowkami, szczególnie na P² i P³. Na niektórych przedtrzonowcach po stronie wewnętrznej widać cingulum; ścianka zewnętrzna ma fałdy słabsze niż na trzonowcach.

² Na linii otworów słuchowych zewnętrznych wraz z mastoideum.

Tabela 4

Pomiary i wskaźniki zębów szczęki górnej (w mm)
Mensurations et indices des dents supérieures (en mm)

Pomiary i wskaźniki <i>Mensurations et indices</i>	W ę ż e		
	nr 237	nr 345	nr 394
Długość szeregu zębów P ² - M ³ <i>Longueur de la rangée de dents</i>	±63,0	±66,0	±65,4
Długość szeregu zębów M ¹ - M ³	36,4	38,0	36,7
Długość szeregu zębów P ² - P ⁴	—	±32,6	33,0
Wskaźnik $\frac{M^1 - M^3}{P^2 - P^4}$ <i>Indice</i>	—	38 : 32,6 = 85,8	36,7 : 33 = 89,9
Wskaźnik $\frac{P^2 - M^3}{M^1 - M^3}$	—	66 : 38 = 57,6	65,4 : 36,7 = 56,2
P ² długość — <i>longueur</i> szerokość — <i>largeur</i> wysokość — <i>hauteur</i>	8,0 — —	10,0 10,0 8,4	12,0 — —
P ³ długość szerokość wysokość	9,3 9,5 7,0	— — —	9,8 10,0 8,2
P ⁴ długość szerokość wysokość	7,6 10,6 7,0	— — —	9,0 11,6 9,6
M ¹ długość szerokość wysokość	10,3 12,0 8,0	12,2 — 10,0	11,0 13,0 8,0
M ² długość szerokość wysokość	11,8 15,8 11,0	12,0 14,4 11,8	12,0 14,0 10,0
M ³ długość szerokość wysokość	13,4 15,0 9,6	13,0 14,4 11,0	13,0 14,4 9,6

Tabela 4

(ciąg dalszy — suite)

nr 400	W ę ż e	<i>Pseudaxis</i>	<i>Capreolus</i>
	zakres zmienności <i>variabilité</i>		
-74,0	$\pm 63 - 74$	60,0	69,0
$\pm 41,0$	36,4 - 41	37,0	39,2
-33,0	30,3 - 33	27,0	33,5
41 : 33 = 80,5	—	37 : 27 = 72,9	39,2 : 33,5 = 85,5
74 : 41 = 54,7	—	60 : 37 = 61,7	69 : 39,2 = 56,8
10,4	8,0 - 12,6	9,3	12,0
10,6	10,0 - 10,6	9,0	8,7
8,5	7,2 - 8,5	10,4	—
10,2	8,5 - 10,2	12,7	9,6
11,8	9,5 - 12,4	9,7	10,7
10,5	7,0 - 10,6	11,6	12,5
8,3	7,6 - 9,0	12,2	12,8
12,3	10,6 - 13,0	11,0	14,0
9,8	7,0 - 9,6	12,0	—
12,3	10,3 - 12,7	10,7	12,0
14,8	12,0 - 15,0	12,7	13,0
10,0	8,0 - 10,0	11,5	8,6
13,5	11,8 - 13,9	13,0	12,5
17,8	14,0 - 17,8	13,0	13,7
11,2	10,0 - 11,8	14,0	11,7
14,0	12,7 - 14,0	14,0	12,0
17,0	11,4 - 17,0	—	13,7
13,0	9,6 - 13,0	—	12,3

Tabela 5

Pomiary i wskaźniki żuchwy i jej zębów (w mm)
Mensurations et indices de la mandibule et de ses dents (en mm)

Pomiary i wskaźniki <i>Mensurations et indices</i>	W ę z e			
	nr 220	nr 248	nr 360	nr 400
Długość szeregu zębów P ₂ - M ₃ <i>Longueur de la rangée de dents</i>	76,3	75,0	70,0	75,8
Długość szeregu zębów M ₁ - M ₃	47,8	42,2	41,7	46,5
Wskaźnik $\frac{P_2 - M_3}{M_1 - M_3}$ <i>Indice</i>	76,3 : 47,8 = = 62,7	75 : 42,2 = = 56,0	70 : 41,7 = = 59,6	75,8 : 46,5 = = 60,4
Długość szeregu zębów P ₂ - P ₄	32,0	31,0	31,0	29,3
Wskaźnik $\frac{M_1 - M_3}{P_2 - P_4}$	47,8 : 32 = = 66,9	42,2 : 31 = = 73,5	41,7 : 31 = = 74,3	46,5 : 29,3 = = 63,0
Odległość C - P ₂ (diastema) <i>Distance C - P₂ (diastème)</i>	50,7	—	—	—
P ₂ długość — <i>longueur</i> szerokość — <i>largeur</i> wysokość — <i>hauteur</i>	8,8 5,5 4,2	8,5 — —	8,4 — —	7,7 4,8 4,8
P ₃ długość szerokość wysokość	10,7 7,2 6,7	11,8 — —	10,8 — —	10,0 6,5 7,7
P ₄ długość szerokość wysokość	11,2 8,0 7,3	10,8 7,0 8,5	10,8 7,7 8,3	10,5 8,0 8,7
M ₁ długość szerokość wysokość	11,8 9,3 8,0	11,7 8,8 7,4	11,4 9,5 9,0	12,8 9,3 8,4
M ₂ długość szerokość wysokość	13,8 10,0 9,5	12,2 9,0 10,0	12,9 9,4 11,4	13,5 9,0 9,0
M ₃ długość szerokość wysokość	20,0 9,3 10,0	16,5 — 10,0	17,3 8,5 10,5	20,3 9,8 10,6

Tabela 5

(ciąg dalszy — suite)

nr 405	W ę ż e	<i>Muntiacus</i>	<i>Pseudaxis</i>	<i>Capreolus</i>
	zakres zmienności <i>variabilité</i>			
±75,0	70,0 - 76,3	59,0	68,5	68,0
±42,0	39,5 - 47,8	35,2	41,7	40,7
—	—	59 : 35,2 = = 59,6	68,5 : 41,7 = = 60,9	68 : 40,7 = = 59,8
34,4	23,6 - 32,0	25,8	26,4	28,0
—	—	35,2 : 25,8 = = 73,3	41,7 : 26,4 = = 63,3	40,7 : 28 = = 68,8
47,0	—	46,0	40,8	41,7
8,7	7,7 - 8,8	—	6,2	7,3
—	4,8 - 5,5	—	4,4	4,7
—	4,2 - 5,8	—	6,6	4,8
10,5	10,0 - 11,8	—	9,0	10,0
—	6,5 - 7,2	—	6,0	6,6
—	6,0 - 7,7	—	9,3	7,2
11,0	10,3 - 13,0	—	10,0	10,0
—	7,0 - 9,3	—	6,8	7,3
—	7,3 - 8,6	—	12,0	10,5
12,0	10,7 - 12,8	—	11,2	11,0
—	8,4 - 9,5	—	8,0	8,7
—	7,0 - 10,0	—	12,5	10,5
—	12,2 - 13,8	—	15,0	12,2
—	9,0 - 10,5	—	9,0	9,2
—	9,0 - 11,7	—	16,0	11,8
—	16,5 - 20,3	—	17,0	16,3
—	8,5 - 9,8	—	—	8,5
—	10,0 - 10,8	—	—	11,8

Trzonowce szczęki górnej odznaczają się tym, że zakończenia wewnętrznych półksiężycowatych guzków są zawsze rozwidłone. U podstawy brak przeważnie guzków, a jeżeli są — to tylko małe. Słabo zaznaczone cingulum występuje na przedniej i tylnej ścianie zębów. Fałdy ścianek zewnętrznych są bardzo silnie rozwinięte.

Pomiary zębów szczęki górnej zostały podane w tabeli 4 razem z pomiarami zębów *Pseudaxis* i *Capreolus*. Zęby jelenia z Węzów są znacznie niższe od zębów *Pseudaxis*, podobnej wysokości jak zęby sarny. Oba wskaźniki, $\frac{M^1 - M^3}{P^2 - P^4}$ i $\frac{P^2 - P^3}{M^1 - M^3}$, obliczone dla jelenia z Węzów, są podobne do tychże u sarny (odpowiednio: Węże 80,5-89,9, średnio 82,0 i sarna 85,5, Węże 54,7-57,6 średnio 56,2 i sarna 56,8) i różnią się wyraźnie od tych wskaźników u *Pseudaxis* (odpowiednio 72,9 i 61,7).

Wśród żuchw, jakie mam do dyspozycji, na żadnym okazie nie zachowały się siekacze, ponieważ przedni koniec wszystkich żuchw był ułamany. Zęby te zostały znalezione tylko luźne. I_1 odznacza się wyciągniętym zewnętrznym kątem korony.

W dolnych przedtrzonowcach P_4 ma ściankę wewnętrzną, utworzoną przez spłaszczenie metakonidu. W ten sposób w przedniej części zęba powstało wgłębienie całkowicie zamknięte: po stronie dojęzykowej przez metakonid, od strony policzka przez protokonid, w części tylnej zaś wgłębienie otoczone jest przez hypo- i endokonid. Zęby te mają budowę bardzo podobną do zębów sarny (fig. 2).

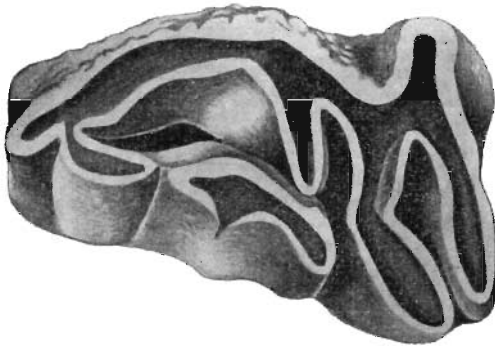


Fig. 2. — *Cervocerus wenzensis* n. sp., ząb P_4 od góry; ca $\times 6$.

W zębach trzonowych dolnych guzki środkowe są średniej wielkości, cingulum z przodu i tyłu każdego trzonowca jest dobrze wykształcone. Słabo zaznaczona fałda paleomeryksowa występuje na przednich zewnętrznych guzkach prawie wszystkich zębów M_1 i M_2 . Fałdy ścianki wewnętrznej są słabiej rozwinięte, niż na trzonowcach szczęki górnej. Pomiary

zębów żuchwy zostały podane w tabeli 5 razem z pomiarami tych zębów *Pseudaxis* i *Capreolus*. Z tabeli 5 wynika, że wskaźniki, $\frac{P_2 - M_3}{M_1 - M_3}$ i $\frac{M_1 - M_3}{P_2 - P_4}$, wykazują wartości podobne u porównywanych jeleni, natomiast zęby dolne jelenia z Węzów są wyraźnie niższe od zębów *Pseudaxis*, a podobnej wysokości jak zęby sarny.

Fragmety żuchw są dość podobne do żuchwy sarny (fig. 3). Diastema żuchwy jest jednak nieco dłuższa. Kształt żuchwy jest trochę inny, bo gdy wysokość jej poniżej M_3 jest prawie taka, jak u innych porównywanych jeleni, to na przednim brzegu P_2 jest ona wyższa. Stosunek długości szeregu zębów do długości diastemy i pomiary wysokości żuchwy zostały przedstawione w tabeli 6.



Fig. 3. — *Cervocerus wenzensis* n. sp., przekrój żuchwy poniżej M_3 (okaz Nr 137); wielk. nat.

Tabela 6

Pomiary żuchwy (w mm)
Mensurations de la mandibule (en mm)

Pomiary Mensurations	W ę z e			Munti- acus	Pseud- axis	Ca- preo- lus	Rusa equi- nus
	nr 220a	nr 248	nr 405				
Długość szeregu zębów $P_2 - M_3$; długość diastemy C - P_2 <i>Longueur de la rangée de dents $P_2 - M_3$; longueur du diastème C - P_2</i>	76,3 : 50,7 = =66,5	—	75 : 47 = =62,7	59 : 46 = =78,0	89 : 58 = =65,2	68:41,7 = =61,3	116:68 = =58,6
Wysokość żuchwy poniżej: <i>Hauteur de la mandibule au-dessous:</i> tylnego brzegu M_3 <i>du bord postérieur M_3</i> przedniego brzegu P_2 <i>du bord antérieur P_2</i>	— 18,0	28,0 16,0	— —	24,6 15,0	29,0 15,0	25,8 15,4	— —

Porozę

(pl. III; pl. IV, fig. 2-4)

Szczątki czaszek i uzębienie wskazują na to, że w Węzach występowały najprawdopodobniej tylko dwa gatunki jeleni, różniące się wyraźnie wielkością. Większy jeleni został poprzednio opisany (Czyżewska, 1959), tutaj więc zajmuję się tylko małym jeleniem. Rozdzielenie fragmentów rogów

natrafia jednak na trudności, ponieważ okazy należą do osobników różnego wieku, a więc o różnym rozwoju poroża. Ponieważ inne szczątki kostne w większości należały do osobników młodych, przeto przypuszczalnie okazy poroży są przeważnie także fragmentami rogów osobników młodych, ale już dorosłych.

Róża jest widoczna na okazach Nr 220, 324, 358 i 392. Pomiary róży podane są w tabeli 7.

Tabela 7

Pomiary róży poroża (w mm)
Mensurations de la meule des bois (en mm)

Pomiary <i>Mensurations</i>	W ę ż e				
	nr 220	nr 324	nr 332	nr 358	nr 392
Średnica róży* <i>Diamètre de la meule*</i>	32,3 × 27	30 × 28,2	—	23 × 18	27 × 22
Stopień spłaszczenia <i>Degré de l'aplatissement</i>	—	94%	—	78,3%	81,5%
Grubość róży <i>Epaisseur de la meule</i>	8,0	7,5	—	5,0	7,5
Średnica łodygi nad różą <i>Diamètre du merrain au-dessus de la meule</i>	19,4 × 18	27 × 24,5	22,3 × 17,7	18,5 × 16,3	20,5 × 19
Stopień spłaszczenia <i>Degré de l'aplatissement</i>	90,7%	90,7%	79,4%	88,1%	92,7%

* Z uwagi na to, że okazy są uszkodzone, pomiary róży są podane w przybliżeniu.

Les spécimens étant fragmentaires, les mensurations de la meule ne sont qu'approximatives.

Okaz Nr 220 ma róże obu rogów stosunkowo dobrze zachowane; są one wydatne, szczególnie w części przedniej. Składają się z pojedynczego wianka guzków nierównej wielkości. Róże na nasadach są ustawione skośnie do długiej osi rogu w ten sposób, że oglądane od przodu nieznacznie nachylone są na zewnątrz, a z boku są nachylone ku przodowi. Ustawienie róży wiąże się z wygięciem łodygi powyżej róży, która jest skierowana lekko na zewnątrz i znacznie mocniej ku tyłowi. Brak śladów uperlenia łodygi.

Przekrój łądygi bezpośrednio nad różą jest prawie okrągły (fig. 4; tab. 7). Stopniowo ku górze łądyga spłaszcza się coraz bardziej (fig. 5) od strony zewnętrznej (okaz Nr 324); średnice na wysokości 60 mm nad różą wynoszą $30,5 \times 21$ mm; równocześnie wygina się coraz bardziej na

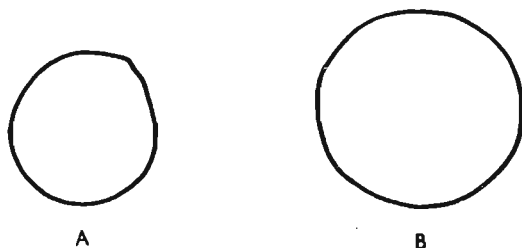


Fig. 4. — *Cervocerus wenzensis* n. sp., przekroje łądygi poroży powyżej róży: A okaz Nr 324 — średnica $27 \times 24,5$ mm, B okaz Nr 392 — średnica $20,5 \times 19$ mm, wielk. nat.

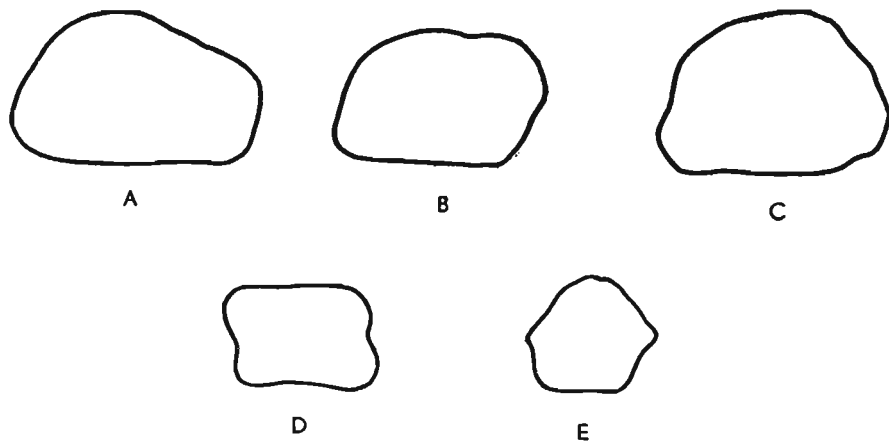


Fig. 5. — *Cervocerus wenzensis* n. sp., przekroje łądygi poroży poniżej pierwszego odgałęzienia: A okaz Nr 324 — średnica $30,5 \times 21$ mm; B okaz Nr 332 — średnica $26,8 \times 16,6$ mm; C okaz Nr 333 — średnica $29,4 \times 21,2$ mm; D okaz Nr 220 — średnica 20×14 mm. Przekrój poniżej drugiego odgałęzienia: E okaz Nr 329 — średnica 15×17 mm.

zewnątrz i ku górze (okazy Nr 220, 324, 332, 333, 358). Okaz Nr 332 — to fragment łądygi bez odgałęzienia, ułamany — sądząc z przekroju — blisko róży. Wymiary przekroju górnego okazu wynoszą 26×17 mm, długość około 110 mm. Ten fragment rogu odznacza się wygięciem i spłaszczeniem łądygi, podobnym jak na okazy Nr 324. Powierzchnię łądygi powyżej róży pokrywają regularne, równoległe biegnące rowki (Nr 324, 332, 333).

Rogi małego jelenia z Węzów rozwidlały się wysoko nad różą. Na okazach Nr 220, 324 i 332 widać, że odgałęzienie wyrastało dopiero na wy-

sokości około 10 cm lub wyżej. Długość łodygi nad różą na fragmencie Nr 324 wynosi co najmniej 66 mm, zaś Nr 332—110 mm. Odległość między różą a pierwszym odgałęzieniem okazu Nr 220 wynosi 147 mm.

Czaszka Nr 220 ma lewy róg zachowany prawie w całości. Jest to czaszka młodego osobnika mającego przypuszczalnie dopiero trzecie poroże. Rogi tej czaszki odznaczają się delikatną budową i silnym spłaszczeniem

Tabela 8

Pomiary łodygi i odgałęzienia poroża (w mm)
Mensurations du merrain et de l'andouiller des bois (en mm)

Pomiary <i>Mensurations</i>	W ę ż e			
	nr 220	nr 328	nr 329	nr 330
Odległość między 1-ym i 2-im odgałęzieniem <i>Distance entre 1-er et 2-e andouillers</i>	92,0	—	+90,0	+95,0
Średnica łodygi poniżej 1-go odgałęzienia <i>Diamètre du merrain au-dessous du 1-er andouiller</i>	34,0 × 12,0	32,0 × 15,6	—	—
Średnica łodygi między 1-ym i 2-im odgałęzieniem (w środku) <i>Diamètre du merrain entre 1-er et 2-e andouillers (au milieu)</i>	15,0 × 12,6	12,3 × 11,0	20,0 × 15,8	19,4 × 15,0
Długość terminalnego rozwidlenia: <i>Longueur de la bifurcation terminale:</i> przednie odgałęzienie <i>andouiller antérieur</i> tylne odgałęzienie <i>andouiller postérieur</i>	+27,5 +15,3	— —	+17,0 +10,0	+30,0 —
Średnica terminalnych odgałęzień (u nasady): <i>Diamètre des andouillers terminaux (à leur base):</i> przednie — <i>antérieur</i> tylne — <i>postérieur</i>	15,0 × 11,6 11,0 × 7,0	— —	17,0 × 12,5 14,0 × 11,0	15,0 × 11,3 12,0 × 12,0

łodygi i odgałęzień; średnica łodygi poniżej pierwszego odgałęzienia wynosi 20,5 × 12,8 mm. Są zgrabnie lirowato wygięte. Pierwsze odgałęzienie wyrasta ku górze; znajduje się więc jakby w przedłużeniu łodygi, tak że tworzy ono z łodygą kąt ostry, około 35°. Odgałęzienie to było krótkie (na okazie uzupełnione). Rozwidlenie terminalne znajduje się w odległo-

ści 92 mm od pierwszego odgałęzienia i składa się z silniejszego przedniego kolca, będącego przedłużeniem łądygi rogu, skierowanego do wnętrza i ku górze, i mniejszego tylnego kolca, odchylnego od łądygi pod kątem ponad 45° . Jest to więc inadaptatywny typ poroża. Wzdłuż przedniej krawędzi rogu, w dół od pierwszego odgałęzienia, biegnie głęboki rowek na naczynie krwionośne. Powierzchnia okazu jest prawie gładka. Pomiar łądygi i odgałęzień poroża jelenia z Węzów są zestawione w tabeli 8 (fig. 5).

Fragment Nr 328 jest ułamany poniżej pierwszego odgałęzienia; były to rogi osobnika młodego, nie mającego jeszcze drugiego odgałęzienia. Odgałęzienie pierwsze wyrasta pod kątem około 30° od łądygi.

Okazy Nr 329 i 330 — to fragmenty łądygi wraz z terminalnymi rozwidleniami. Łodyga poniżej rozwidlenia jest trochę spłaszczona, a jeszcze niżej owalna lub trójkątna (fig. 5). Oba fragmenty nie wykazują takiego wygięcia, jak końcowy odcinek rogu okazu Nr 220, lecz łądyga ich ma przebieg prosty.

CHARAKTERYSTYKA MAŁEGO JELENIA Z WĘZÓW

Opisywany w tej pracy jeleni odznaczał się następującymi cechami:

1) Czaszka o profilu prawie równym: niska i dość wąska. Czoło słabo wypukłone, szerokie. Sulcus supraorbitalis głęboki, biegnie ku tyłowi od małego pojedynczego foramen supraorbitale. Górna krawędź oczodołu wystercza nieco na zewnątrz. Nasady rogów przechylone ku tyłowi. Oczodół duży, ale jego średnica jest mniejsza od długości kości łzowej. Fossa lacrimalis leży blisko oczodołu, jest średniej wielkości, głęboka, trójkątna; górno-przedni brzeg lacrimale, graniczący z wąskim hiatus lacrimalis, jest prosty i skośnie ustawiony. Brzeg ten jest cienki. Lacrimale sięga ku przodowi do środka P^3 . Górny otwór kanału łzowego znajduje się wewnątrz oczodołu, natomiast dolny — na zewnątrz, na części twarzowej lacrimale. Maxilla jest niska, margo interalveolaris jest tak wygięta, że odległość najmniejsza między tymi krawędziami jest nieco większa od długości P^2 . Bulla tympanica nieduża, gładka, wypukła; przewód słuchowy zewnętrzny wydłużony, ale bez śladów grzebienia.

2) Żuchwa z wyrostkiem kątowym wydatnie zaokrąglonym.

3) Zęby o niskich koronach, ścianki zębów mocno nachylone; u samców występowały dość duże górne kły. Trzonowce górne z rozwidlonymi zakończeniami wewnętrznych półksiężycowatych guzków; przedtrzonowce górne, szczególnie P^2 i P^3 , o ściankach wewnętrznych przedzielonych płytkimi wgłębieniami. Po stronie wewnętrznej czasem występuje cingulum. P_4 posiada ściankę wewnętrzną. Na M_1 i M_2 zaznacza się słabo wykształcona fałda paleomeryksowa.

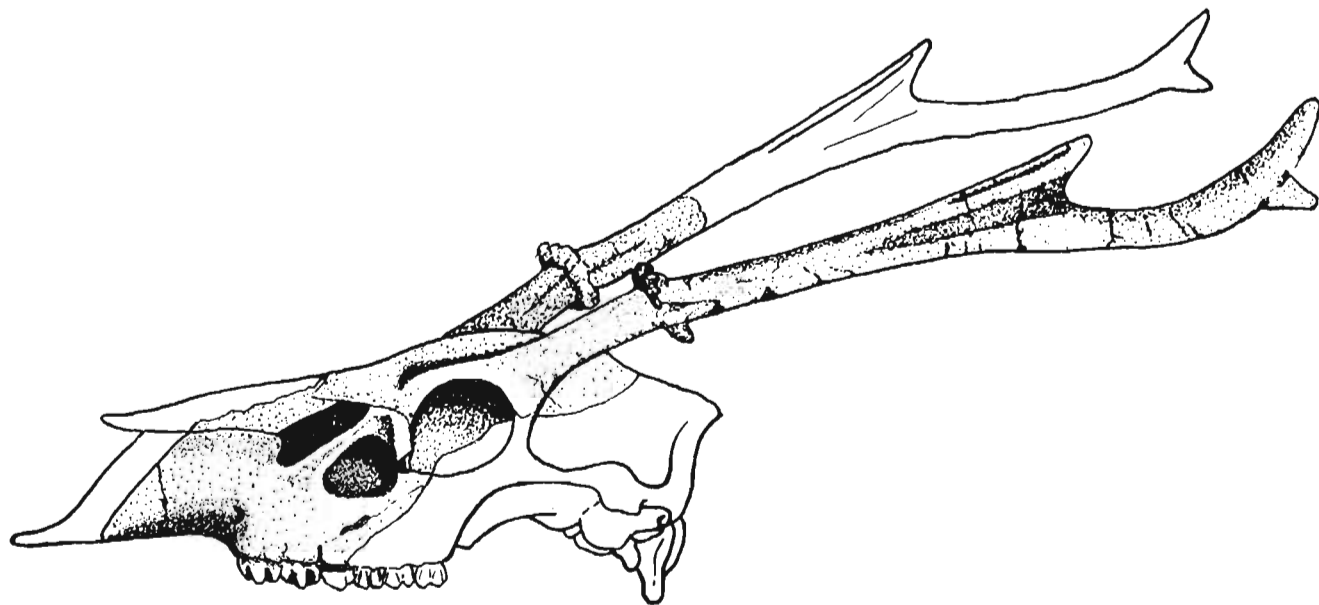


Fig. 6. — *Cervocerus wenzensis* n. sp.: rekonstrukcja czaszki widzianej z boku, oparta na okazie Nr 220; ca \times 1/3.

4) Poroże o dwu odgałęzieniach, małe, delikatnej budowy. Róża z jednego szeregu guzków ustawiona skośnie do długiej osi nasady rogu. Łodyga bezpośrednio nad różą, prawie okrągła; wyżej wygina się na zewnątrz i ku tyłowi. Przekrój jej ku górze ulega stopniowemu spłaszczeniu. Nad pierwszym odgałęzieniem łodyga odchyła się ku tyłowi, a zakończenie do wnętrza. Pierwsze odgałęzienie wyrasta wysoko nad różą pod kątem ostrym do łodygi, jakby w jej przedłużeniu. Rozwidlenie terminalne jak w rogach typu inadaptatywnego, tzn. że słabsze odgałęzienie wygina się ku tyłowi, a przednie, silniejsze, leży w przedłużeniu łodygi (fig. 6).

PORÓWNANIE MAŁEGO JELENIA Z WĘŻÓW Z NIEKTÓRYMI PRZEDSTAWICIELAMI CERVIDAE

Już Brooke (1878) wyraził zdanie, że poszczególne gatunki Cervidae odznaczają się różnymi kombinacjami cech i nie można ich scharakteryzować na podstawie cech pojedynczych. Za najbardziej przydatną pod względem systematycznym jest uważana budowa poroża. Pierwsze odgałęzienie poroża jelenia z Wężów wyrasta wysoko nad różą; dlatego też będę go porównywać tylko z jeleniami Eurazji o podobnym porożu. Z przedstawicieli Cervinae zostanie więc pominięta większość gatunków, należących do rodzaju *Cervus*, a także rodzaje *Axis* i *Dama*.

Spośród współczesnych Cervidae Eurazji sarna posiada poroże o pierwszym odgałęzieniu umieszczonym wysoko nad różą. Poroże sarny, mimo ogólnego podobieństwa, wykazuje jednak także różnice.

1) U sarny przekrój łodygi, poniżej pierwszego odgałęzienia, jest okrągły, gdy tymczasem u jelenia z Wężów zaznacza się dość znaczne spłaszczenie łodygi.

2) Łodyga rogów sarny jest uperlona; na łodydze poroża jelenia z Wężów widać natomiast tylko drobne żeberka, lub powierzchnia jest gładka.

3) Poroże sarny ma bardziej krępa i mocną budowę, jelen z Wężów zaś posiadał poroże wyjątkowo smukłe i delikatnej budowy (np. okaz Nr 220).

Zęby sarny i jelenia z Wężów są bardzo podobne co do wielkości i kształtu. Występujące natomiast różnice w budowie uzębienia dotyczą przede wszystkim obecności górnych kłów u samców jelenia z Wężów (Nr 220), śladów fałdy paleomeryksowej na dolnych trzonowcach i budowy P₄; wgłębienie przedniego płatu tego zęba u jelenia z Wężów jest zamknięte, u sarny zaś otwarte.

Czaszka sarny jest stosunkowo wysoka, z wypukłym czołem, dół łzowy jest szeroki i bardzo płytki, bulla tympanica mała, kanciasta, o krótkim przewodzie słuchowym. Natomiast czaszka jelenia z Wężów jest niska, ma

głęboki trójkątny dół łzowy, bulla tympanica średniej wielkości, wypukłą i gładką, z długim przewodem słuchowym. Z powodu tak licznych i ważnych różnic, mimo pewnego podobieństwa w budowie poroża i uzębienia, trzeba przyjąć, że jelen z Węzów reprezentuje inną linię rozwojową w rodzinie Cervidae, a nie rodzaj *Capreolus*.

W młodszym pliocenie żyły małe pierwotne jelenie, nie będące typowymi Cervulinae, które przypominają pod względem pewnych cech sarnę, a mianowicie: *Cervus australis* de Serres, *C. cusanus* Cr. i in.

Cervus australis, znany z Montpellier, Casino, Roussillon, jest mniejszy od jelenia z Węzów. Długość zębów P₂-M₃ u *C. australis* wynosi 61—71 mm (Gervais, 1848-52), a u jelenia z Węzów 70-76,3 mm. *C. australis* różnił się także tym, że miał poroże proste, z jednym tylko odgałęzieniem, rogi były grube i krępe. Odgałęzienie wyrastało, podobnie jak w rogach jelenia z Węzów, wysoko nad rózą i skierowane było ku górze (Gervais, 1848-52; Depéret, 1890). Jeśli chodzi o poglądy na stanowisko systematyczne *C. australis*, to Teilhard de Chardin i Trassaert (1937) uważają *C. australis* z Roussillon za przedstawiciela rodzaju *Paracervulus*, znanego z Europy zachodniej, a zbliżonego do *Paracervulus bidens* z Chin. Thenius (1948) sądzi, że *C. australis* jest krewniakiem jeleni rodzaju *Euprox*, będących grupą wyjściową (*E. dicranocerus* (Kaup)) dla wszystkich Pliocervinae.

Z Perrier-Étouaires pochodzi *Cervus cusanus*, uznawany za przodka *Capreolus* (Dawkins, 1878; Thenius, 1948; Bout i Azzaroli, 1952, i in.). *C. cusanus* nie był jednak jeleniem telemetakarpalnym³ (Schaub, 1943)⁴ jak sarna, więc związek ten nie mógł być bliski. Rogi jelenia z Węzów (okaz Nr 220) są tego samego typu, co rogi *C. cusanus*, odznaczają się jednak znacznie smuklejszą i cieńszą łodygą, podobną raczej do poroża *C. bouladensis*⁵ (Depéret, 1883), a całe poroże musiało być dłuższe. Rogi jelenia z Węzów są wygięte w kształcie małej liry, zaś u *Cervus cusanus* są prostsze. Także rzeźba poroża *Cervus cusanus* jest o wiele silniej zaznaczona. Uzębienie jelenia z Węzów jest zgodne z opisem zębów *C. cusanus*, podanym przez Dawkinsa (1878) i Depéreta (1883), ale obaj autorzy nie wspominają o występowaniu na dolnych trzonowcach tego jelenia fałdy paleomeryksowej, widocznej na okazach z Węzów. Ze względu na

³ Redukcja bocznych palców kończyny przedniej nie postępuje jednakowo u wszystkich przedstawicieli rodziny Cervidae. Pierwotne Cervidae zachowują boczne metacarpalia II i V w całości; są to Holometacarpalia. U innych Cervidae boczne metacarpalia są częściowo zredukowane; zachowują się albo ich części dystalne, np. u *Capreolus*, albo części proksymalne, np. *Cervus*. Są to odpowiednio Telemetacarpalia i Plesiometacarpalia.

⁴ Uwaga Schaub'a odnosi się do małego jelenia z Senèze, a nie do *C. cusanus* z Perrier-Étouaires.

⁵ Hilzheimer (1922) uważa go za młodego *C. cusanus*. To samo dotyczy *C. neschersensis* (także Lydekker, 1898; Schlosser, 1924, i in.).

te różnice należy przyjąć, że *Cervus cusanus* i mały jelen z Węzów są gatunkami odmiennymi.

Budowa kończyn przednich jelenia z Węzów nie jest znana. Ponieważ jednak czaszka jego ma dobrze rozwinięty dół łzowy, a cecha ta u wielu współczesnych jeleni łączy się z budową plesiometakarpalną przedniej kończyny (np. u wszystkich jeleni z rodzaju *Cervus*), przypuszczam, że była to raczej forma plesiometakarpalna (lub holometakarpalna?), jak u *Cervus cusanus*. Z zestawienia na tabeli 9 widać, że pomiary uzębienia, a także częściowo i rogów jelenia z Węzów i *C. cusanus*, są podobne.

Tabela 9

Pomiary rogów i uzębienia jelenia z Węzów i *C. cusanus* (w mm)
Mensurations des cornes et de la dentition du cerf de Węże et de C. cusanus (en mm)

Pomiary <i>Mensurations</i>	W ę ż e		<i>Cervus cusanus</i>			
	nr okazu <i>spécimen</i>	mm	Dawkins, 1878	Depéret, 1883		
				<i>C. cusanus</i>	<i>C. boula-</i> <i>densis</i>	
Obwód łodygi nad różą <i>Circonférence du merrain</i> <i>au-dessus de la meule</i>	220	62,0	66,0	—	—	
	324	85,0				
	358	61,0				
	392	70,0				
Odległość: róża — 1-sze odgałęzienie <i>Distance:</i> <i>meule — 1-er andouiller</i>	220	+147,0	-112,0	±130,0	150,0	
	324	+ 60,0				
	332	+107,0				
Odległość: 1-sze odgałęzienie — 2-gie odgałęzienie <i>Distance:</i> <i>1-er andouiller — 2-e an-</i> <i>douiller</i>	220	90,0	—	90,0	—	
Długość szeregu zębów: <i>Longueur de la rangée de</i> <i>dents:</i>	P ₂ - M ₃	—	70,0 - 76,3	—	75,0	68,0
	M ₁ - M ₃	—	41,7 - 47,8	—	45,0	40,0
	P ₂ - P ₄	—	29,3 - 32,0	—	30,0	—
	M ¹ - M ³	—	36,4 - 38,0	—	41 - 45,0	36,0

Występujący razem z *Cervus cusanus* w Perrier-Étouaires *Cervus ramosus* Cr. & Job. posiada pierwsze odgałęzienie poroża także umieszczone wysoko nad różą (115-195 mm; Viret, 1954). Budowa jego poroża jest jednak znacznie bardziej skomplikowana; nie sędzę, aby fragmenty rogów, znalezione w Węzach, mogły należeć do poroża o takim kształcie.

C. ramosus różni się od jelenia z Węzów: dużą ilością odgałęzień w porożu, ich kształtem i umieszczeniem na łodydze, adaptatywnym zakończeniem poroża, dużą grubością i innym zupełnie sposobem spłaszczenia łodygi w pobliżu róży. Uzębienie jelenia z Węzów wykazuje pewne podobieństwo do uzębienia *C. ramosus*; dotyczy to w szczególności budowy P_4 , która jest prawie identyczna, a mianowicie przednie wgłębienie tego zęba jest zupełnie zamknięte. Przypuszczalnie jednak chodzi tu o zbieżność, wywołaną podobnym sposobem odżywiania się. Nadto *C. ramosus* był większy od jelenia z Węzów. Najprawdopodobniej więc nie ma bliższego powiązania między *C. ramosus* i jeleniem z Węzów.

Duże jest podobieństwo między jeleniem z Węzów i *Procapreolus loczyi* (Pohlig), znanym z Polgárdi, Baltavár, Hatvan (pannon), basenu wiedeńskiego (warstwy kongeriowe), Podola (pliocen). Polega ono na: 1) skośnym ustawieniu róży, 2) zbliżonych rozmiarach poroża i zębów trzonowych (tab. 10), 3) prostokątnym lub rombowym przekroju łodygi i zbitej

Tabela 10

Pomiary poroża i uzębienia jelenia z Węzów i *Procapreolus* (w mm)
Mensurations des bois et de la dentition du cerf de Wéze et de Procapreolus (en mm)

Pomiary <i>Mensurations</i>	Węze	<i>Procapreolus loczyi</i>		
		Kadič, 1911	Gaal, 1943	Thenius, 1948
Odległość: róża — 1-sze odgałęzienie <i>Distance:</i> <i>meule — 1-er andouiller</i>	±147,0	90,0	—	90,0
Średnica łodygi nad rózą <i>Diamètre du merrain au-des-</i> <i>sus de la meule</i>	27,0 × 24,3 18,5 × 16,3	23,0	—	22,2 × 25,4
Odległość: 1-sze odgałęzienie — 2-gie odgałęzienie <i>Distance:</i> <i>1-er andouiller — 2-e ando-</i> <i>uiller</i>	90,0	90,0	—	—
Długość zębów: M_1 <i>Longueur des dents:</i> M_2	11,4 × 12,8 12,2 × 13,8	—	12,6 Hatvan 12,1 Polgárdi 12,2 Hatvan	—
M_3	16,5 × 20,3	—	18,6 Polgárdi 16,5 - 18,7 Hatvan	

strukturze rogu (okaz Nr 220), 4) braku uperlenia łodygi, 5) występowaniu fałdy paleomeryksowej na dolnych M_1 i M_2 (u *Procapreolus* występuje fałda na wszystkich trzonowcach), 6) występowaniu górnych kłów.

Prócz tych cech wspólnych, jelen z Węzów wykazuje ważne różnice w stosunku do *Procapreolus loczyi*, a mianowicie: 1) pierwsze rozwidlenie rogów jest umieszczone nad różą znacznie wyżej niż u *Procapreolus loczyi*, 2) odgałęzienia są słabiej odchyłone od łodygi, tzn. wyrastają pod kątem bardziej ostrym, 3) łodyga w miejscu rozwidlenia jest silniej spłaszczo-
na, 4) róża nie tak wydatna, jak u *P. loczyi*, i nie jest tak bardzo skośnie ustawiona, 5) obecność dużego i głębokiego dołu łzowego. Nie można więc mówić o bliskim pokrewieństwie tych dwu form także dlatego, że *Procapreolus* jest jeleniem telemetakarpalnym (Schlosser, wg Theniusa, 1948), jelen zaś z Węzów był prawdopodobnie plesiometakarpalnym, o czym wspomniano przy omawianiu *C. cusanus* (Kadić, 1911; Gaal, 1943; Thenius, 1948).

Mały jelen z Węzów posiada liczne cechy, charakteryzujące także grupę jeleni nazwaną przez Khomenko (1913) Pliocervinae. Są to następujące cechy: 1) niskie zęby o dość stromo nachylonych ściankach, 2) półksiężycowate guzki górnych trzonowców mają rozwidłone zakończenia, 3) na dolnych trzonowcach są ślady fałdy paleomeryksowej⁶, 4) poroże małe o dwu odgałęzieniach, przy czym pierwsze odgałęzienie wyrasta zwykle wysoko nad różą. Do grupy tej zaliczane bywają następujące gatunki: *Cervavitus tarakliensis* Khomenko, *Cervocerus novorossiae* Khomenko, *Procervus variabilis* Alexejev. Pliocervinae są jeleniami holometakarpalnymi.

Jelen z Węzów jest stosunkowo najbardziej podobny do *Cervocerus novorossiae* — typowego przedstawiciela tej grupy, ma z nim bowiem następujące cechy wspólne: 1) ma górne kły, 2) dość długie nasady poroży, 3) kanciasty przekrój łodygi, 4) szczególnie głęboki rowek na naczynie krwionośne, biegnący wzdłuż przedniej powierzchni łodygi i pierwszego odgałęzienia, 5) czaszkę o płaskim szerokim czole, z dużą i głęboką trójkątną fossa lacrimalis, 6) duży oczodoł, 7) pojedynczy foramen supraorbitale, 8) otwory ductus lacrimalis rozdzielone brzegiem oczodołu: górny leży wewnątrz oczodołu, dolny na powierzchni twarzowej lacrimale⁷.

Jelen z Węzów różni się jednak także od *Cervocerus novorossiae* całym szeregiem zasadniczych cech: 1) rozmiary jelenia z Węzów są nieco mniejsze od *C. novorossiae*, niektóre wymiary zbliżają się do wymiarów minimalnych tego jelenia; 2) w budowie poroża różnica zaznacza się zwłaszcza w rozwidleniu terminalnym; u jelenia z Węzów (Nr 220) poroże jest typu inadaptatywnego, u *C. novorossiae* — adaptatywnego.

⁶ Zęby o takiej budowie Koken (1885) opisał z terenów Chin, oznaczając je jako należące do rodzaju *Palaeomeryx*. Następnie Schlosser (1903) utworzył dla nich oddzielny rodzaj *Cervavus*. Zdansky (1925) sądzi, że wyodrębnienie tego rodzaju nie jest uzasadnione, ponieważ zęby podobnego typu występują u różnych form.

⁷ Podobnie jak u *Procervus variabilis* i u muntiaków.

Tabela 11

Pomiary poroża jelenia z Węzów i *C. novorossiae* (w mm)
 Mensurations des bois du cerf de Węże et de *C. novorossiae* (en mm)

Pomiary Mensurations	Węże			<i>Cervocerus novorossiae</i>				
	nr 220	nr 324	nr 392	Khomen- ko, 1913	Zdansky, 1925		Teilhard de Chardin, 1937	
				pl. 4, fig. 3 i 3a*	pl. 3, fig. 1 i 2	pl. 3, fig. 3	pl. 4, fig. 6	pl. 4, fig. 3
Długość nasady rogu <i>Longueur du pédicule</i>	25,5	—	±47,0	67,0	35,0	41,5	—	—
Średnica nasady rogu u dołu (największa) <i>Diamètre maximum du pédicule à la base</i>	20,5	—	19,0	21,0	25,5	24,5	22,0	—
Średnica nasady rogu pod różą (największa) <i>Diamètre maximum du pédicule sous la meule</i>	18,7	—	21,0		22,0	22,0		—
Średnica łodygi nad różą (największa) <i>Diamètre maximum du merrain au-dessus de la meule</i>	19,0	27,0	20,0	24,0	33,0	28,5	25,0	26,0
Odległość: róża — 1-sze odgałęzienie <i>Distance: meule — 1-er andouiller</i>	147,0	+63,0	—	57,0	71,0	54,0	67,0	81,0
Odległość: 1-sze odgałęzienie — 2-gie odgałęzienie <i>Distance: 1-er andouiller — 2-e andouiller</i>	91,0	—	—	—	145,0	145,0	143,0	194,0
Średnica łodygi między odgałęzieniami <i>Diamètre du merrain entre les andouillers</i>	15,0	—	—	18,0	22 × 32	17 × 25	22,0	20,0

* Okaz nie ma jeszcze drugiego odgałęzienia.
Spécimen n'a pas encore le 2-e andouiller.

Odgąłęzienia rogów jelenia z Węzów są krótkie, ustawione pod kątem ostrym w stosunku do łodygi; odgałęzienia pierwsze i drugie wyrastają w mniejszej odległości od siebie, niż to jest u *C. novorossiae*. Na okazach z Węzów nie widać tendencji do znacznego rozszerzania i spłaszczenia końcowej części poroża, jak u *Damacerus* (Khomenko, 1913), *Procervus variabilis*, czy *C. novorossiae* (Zdansky, 1925, pl. 5, fig. 1, 2). Pomiaru poroża jelenia z Węzów i *C. novorossiae* zostały przedstawione w tabeli 11; 3) różnice w budowie zębów są następujące: P_4 *C. novorossiae* prawie zawsze ma budowę pierwotną. Zdansky (1925) opisuje okazy, pochodzące z Chin (Shansi, lok. 44; pl. 8, fig. 6), mające P_4 z silnie rozwiniętą ścianką wewnętrzną; także zęby P_4 , zakupione w aptekach, a pochodzące przypuszczalnie z Hanan, mają zupełną ściankę wewnętrzną. U jelenia z Węzów nie widać fałdów emalii na przednich i tylnych ściankach zębów (fałdy kompresyjne), które występują u *C. novorossiae*. Cingulum jest też dość słabo rozwinięte.

Pomiary uzębienia jelenia z Węzów i *C. novorossiae* są zestawione w tabeli 12.

Tabela 12

Pomiary uzębienia jelenia z Węzów i *C. novorossiae* (w mm)
Mensurations de la dentition du cerf de Węże et de C. novorossiae (en mm)

Pomiary <i>Mensurations</i>	Węże		<i>Cervocerus novorossiae</i>		
	nr 220	nr 400	Khomenko, 1913		Zdansky, 1925
			nr 354	nr 737	
Długość zębów: <i>Longueur des dents:</i>					
$P^2 - P^1$	±32,0	-33,0	32,0	—	32,0 - 37,2
$M^1 - M^3$	—	±41,0	—	—	43,0 - 46,5
$P^2 - M^3$	—	-74,0	—	—	69,0 - 80,5
$P_2 - P_4$	32,0	29,3	—	30,9	30,5 - 37,0
$M_1 - M_3$	47,8	46,5	—	42,5	51,4 - 58,0
$P_2 - M_3$	76,3	75,8	—	—	84,5 - 88,7

U *Cervus (Rusa) moldavicus* z Mołdawii (Janowska, 1954) nie zostało dotychczas poznane ani poroże, ani też uzębienie stałe, a zachowane cechy budowy czaszki są nie wystarczające dla porównania go z jeleniem z Węzów. Jednak same pomiary dwu stałych trzonowców wskazują, że jelen ten musiał być większy od jelenia z Węzów.

U *Cervus pentelici* z Pikermi (Dames, 1883) poroże odznacza się tym, że pierwsze odgałęzienie wyrasta bardzo wysoko na łodydze, a w końcowych widelkach przedni kolec jest o wiele silniejszy. Jednak sądząc z rysunku (l. c., pl. 5) i opisu, była to forma zupełnie inna niż jelen z Węzów: rogi *C. pentelici* są znacznie większe, odmienne jest ustawienie drugiego odgałęzienia końcowych widełek, które wyrasta jakby z boku łodygi, wszystkie odgałęzienia są skierowane silnie ku tyłowi.

WNIOSKI

Jeleń z Węzów różni się od przedstawicieli podrodziny Cervulinae: 1) wyższymi koronami zębów, 2) stosunkowo słabo rozwiniętymi utworami u podstawy zębów policzkowych, takimi jak cingulum i guzki, 3) krótszymi nasadami poroży. Ustawienie pierwszego odgałęzienia w rogach jelenia z Węzów wskazuje na związek tej formy z jeleniami typu *Cervus australis* (*Euprox* lub *Paracervulus*); jest on przypuszczalnie ich potomkiem.

Mimo podobieństwa w budowie poroży i uzębienia, nie może być bliskiego pokrewieństwa między jeleniem z Węzów a *Capreolus* i *Procapreolus* ze względu na różnice w budowie czaszki. Podobieństwo można wyjaśnić dalszym pokrewieństwem i pewnymi pierwotnymi cechami zachowanymi u tych jeleni.

Przypuszczam również, że związek z *Cervus ramosus*, mimo podobieństwa w uzębieniu, jest dość odległy.

Nasuwa się więc wniosek, jako najbardziej prawdopodobny, że jelen z Węzów jest przedstawicielem plioceńskiego szczepu podrodziny Cervinae, rodzaju *Cervocerus*⁸. Ze względu jednak na pewne wyraźne różnice między jeleniem z Węzów a *Cervocerus novorossiae* uważam jelenia z Węzów za odmienny, nowy gatunek tego rodzaju, który nazywam *Cervocerus wenzensis* n. sp. (Holotyp — okaz Nr 220, część czaszki samca z porożem i fragmentami żuchw; pl. III. Paratyp — okaz Nr 345, uszkodzona czaszka bezroga z uzębieniem; pl. I). Okazy znajdują się w zbiorach Zakładu Paleozoologii Uniwersytetu Wrocławskiego.

Dokładniejszego wyjaśnienia wymaga stosunek między *Cervocerus wenzensis* i *Cervus cusanus*; nie można jednak tego rozstrzygnąć, gdyż wiadomości o tym jeleniu są niedostateczne. Stwierdzenie pewnego podobieństwa w budowie poroży jest w tym wypadku nie wystarczające do wysnuwania wniosków o bliskim pokrewieństwie.

Wiek fauny z Węzów jest plioceński, najprawdopodobniej górno-plioceński, o czym świadczy występowanie niektórych mięsożerców. Są to

⁸ Opieram się tu — prócz własnych obserwacji — na definicji rodzaju, podanej przez Teilhard de Chardin i Trassaert (1937).

z jednej strony *Agriotherium*, którego różne gatunki znane są w Europie z takich stanowisk, jak Montpellier, Boutonnet, La Vialette we Francji, Alcoi w Hiszpanii, Felixtown w Anglii, Baltavár na Węgrzech i Monte Bamboli we Włoszech, oraz mały gatunek rodzaju *Ursus* (najstarsi przedstawiciele tego rodzaju pochodzą z Roussillon). Z drugiej strony występuje rodzaj *Nyctereutes*, którego przedstawiciele znani są z młodszych stanowisk, takich jak Mt. Perrier i Senèze we Francji, Valdarno we Włoszech i Csarnóta w południowych Węgrzech (Stach, 1953, 1954, 1957).

Oprócz Carnivora, w Węzach żył *Trilophomys*, znany poza Węzami tylko z Roussillon i Wölfersheim (Wetterau), (Schaub & Kowalski, 1958) oraz nosorożec *Dicerorhinus megarhinus*, którego najmłodszy przedstawiciel pochodzi z La Vialette i Ajnacskö (Czyżewska, 1958).

Z tego krótkiego zestawienia można wnioskować, że prawdopodobnie fauna z Węzów jest starsza od fauny z Perrier-Étouaires, młodsza zaś od fauny z Montpellier i Roussillon.

Cervocerus jest jednym z przedstawicieli dolno-pliocenńskiej fauny hipparionowej (Zdansky, 1925), spotykanym przede wszystkim w Chinach i na południowych terenach europejskiej części Związku Radzieckiego. Szczątki tego jelenia zostały opisane także z górnego pliocenu z Gödöllő na Węgrzech (Mottl, 1939; Thenius, 1959). *Cervocerus wenzensis* jest więc przypuszczalnie przeżytkiem z wcześniejszego okresu, podobnie jak i *Agriotherium*.

Jelenie grupy *Cervocerus* żyły na otwartych, dość suchych przestrzeniach pokrytych trawą i kępami drzew, lub na skraju niedużych lasów⁹. Wszystkie jelenie współczesne trzymają się okolic zaopatrzonych w wodę i zdecydowanie unikają okolic zupełnie suchych (Brehm, 1920). Dlatego też sądzę, że w najbliższym sąsiedztwie jaskini w Węzach musiał znajdować się jakiś zbiornik wody, prawdopodobnie rzeka. Przypuszczenie to zdaje się potwierdzać występowanie zółwi z rodzaju *Clemmys* (Młynarski, 1955).

Zakład Paleozoologii
Uniwersytetu Wrocławskiego
Wrocław, luty 1960 r.

LITERATURA — BIBLIOGRAPHIE

- BOUT, P. & AZZAROLI, A. 1952. Stratigraphie et faune du Creux de Peyrolles près Perrier (Puy-de-Dôme). — *Ann. Paléont.*, **38**, 3-21, Paris.
BREHM, A. 1920. Die Säugetiere. Brehms Tierleben. 4, Leipzig-Wien.

⁹ Khomenko (1913) opisał z Taraklii faunę towarzyszącą *Cervocerus novorossiae*, wskazującą na środowisko stepu parkowego, a mianowicie zyraby *Helladotherium*, *Samotherium*, *Palaeotragus*, dalej *Gazella*, *Tragocerus*, *Criotherium*, *Palaeoryx*, *Tragoreas* i *Protragelaphus*.

- BROOKE, V. 1878. On the classification of the Cervidae with a synopsis of the existing species. — *Proc. Zool. Soc. London*, 883-928, London.
- CZYŻEWSKA, T. 1958. Dwa zęby nosorożca *Dicerorhinus* z brekcji kostnej z Węzów koło Działoszyna (Two teeth of *Dicerorhinus* from breccia at Węże near Działoszyn). — *Acta Palaeont. Pol.*, **3**, 1, 49-58, Warszawa.
- 1959. Jeleń *Cervus* (*Rusa*) sp. z plioceńskiej brekcji kostnej z Węzów (*Cervus* (*Rusa*) sp. de la brèche osseuse pliocène de Węże près de Działoszyn). — *Ibidem*, **4**, 4, 389-429.
- DAMES, W. 1883. Hirsche und Mäuse von Pikermi in Attica. — *Ztschr. deutsch. geol. Ges.*, **35**, 93-107, Berlin.
- DAWKINS, B. 1878. Contributions to the history of the Deer of the European Miocene and Pliocene strata. — *Quart. J. Geol. Soc. London*, **34**, 402-420, London.
- DEPÉRET, Ch. 1883. Nouvelles études sur les Ruminants pliocènes et quaternaires d'Auvergne. — *Bull. Soc. Géol. France*, sér. **3**, **12**, 247-284, Paris.
- 1890. Les animaux pliocènes du Roussillon. — *Mém. Soc. Géol. France*, Paleont. **3**, 99-112, Paris.
- ELLERMANN, J. R. & MORRISON-SCOTT, T.C.S. 1951. Checklist of Palaearctic and Indian Mammals, 1758-1946, London.
- FLEROW, K. K. 1952. Kabargi i oleni. *Fauna SSSR, Mlekopitajuszczyje*. **1**, 2, Moskwa-Leningrad.
- GAAL, I. 1943. Unterpliozäne Säugetierreste aus Hatvan in Ungarn. — *Geol. Hungar.*, Palaeont., **20**, Budapestini.
- GERVAIS, P. 1848-1852. Zoologie et paléontologie française. I-III, Paris.
- HILZHEIMER, M. 1922. Über die Systematik einiger fossilen Cerviden. — *Centrabl. Min. etc.*, **23**, 712-717, 741-749, Stuttgart.
- JANOWSKAJA, N. M. 1954. Nowyj oleń iz sredniego pliocena Moldawii. — *Tr. Paleont. Inst., Triet. Mlekopit.*, **47**, 2, 163-171, Moskwa.
- KADIĆ, O. 1911. Die fossile Säugetierfauna der Umgebung des Balatonsees. — *Res. Wiss. Erforsch. Balat.*, **4**, Wien.
- KHOMENKO, N. 1913. Meoticzeskaja fauna z Taraklii Banderskogo u. — *Eżeg. geol. i miner. Rossii*, **15**, 4-6, 108-115, 132-142, Novo-Alexandria.
- KNOTTNERUS-MEYER, T. 1907. Über das Tränenbein der Huftiere. — *Arch. Naturgesch.*, 73 Jg., **1**, 1-150, Berlin.
- KOKEN, E. 1885. Über fossile Säugetiere aus China. — *Palaeont. Abh.*, **3**, 2, 52-61, Berlin.
- LYDEKKER, 1898. The Deer of all lands. London.
- MŁYNARSKI, M. 1955. Żółwie pliocenu Polski (Tortoise from the Pliocene of Poland). — *Acta Geol. Pol.* **5**, 2, 161-214, Warszawa.
- 1956. On a new species of Emydid-tortoise from the Pliocene of Poland (Nowy gatunek żółwia z pliocenu Polski). — *Acta Palaeont. Pol.*, **1**, 2, 153-164, Warszawa.
- MOTTL, M. 1939. Die mittelplozäne Säugetierfauna von Gödöllö bei Budapest. — *Mitt. Jb. Ungar. Geol. Reichsanst.*, **32**, 3, 334-350, Budapest.
- SAMSONOWICZ, J. 1934. Zjawiska krasowe i trzeciorzędowa brekcja kostna w Wężach pod Działoszynem (Sur les phénomènes karstiques et la brèche osseuse de Węże près de Działoszyn sur la Warta). — *Zab. Przyr. Nieoż. Ziemi R. P.* (*Monum. Nat. Inanimée Rép. Pol.*), **3**, 147-158, Warszawa.
- SCHAUB, S. 1943. Die oberpliozäne Säugetierfauna von Senèze (Haute-Loire) und

- ihre verbreitungsgeschichtliche Stellung. — *Ecl. Geol. Helv.*, 36, 2, 270-289, Zurich.
- SCHAUB, S. & KOWALSKI, K. 1958. *Trilophomys pyrenaicus* Dep. im Pliozän von Węże (Polen). — *Ibidem*, 51, 2, 480-483, Basel.
- SCHLOSSER, M. 1903. Die fossilen Säugetiere Chinas nebst einer Odontographie der receten Antilopen. — *Abh. K. bayer. Akad. Wiss.*, 12, 113-126, München.
- 1924. Über die systematische Stellung jungtertiären Cerviden. — *Centralbl. Min. etc.*, 634-640, Stuttgart.
- SIMPSON, G. G. 1945. The principles of classification and a classification of mammals. — *Bull. Amer. Mus. Nat. Hist.*, 85, 1-350, New York.
- STACH, J. 1952. *Ursus wenzensis*, nowy gatunek małego niedźwiedzia pliocenckiego (*Ursus wenzensis*, a new species of a small Pliocene bear). — *Acta Geol. Pol.*, 3, 1, 103-136, Consp., 21-24, Warszawa 1953.
- 1954. *Nyctereutes* (Canidae) w pliocenie Polski (*Nyctereutes* (Canidae) in the Pliocene of Poland), — *Ibidem*, 4, 2, 191-206, Consp. 39-41.
- 1957. *Agriotherium intermedium* n. sp. from the Pliocene bone breccia of Węże (*Agriotherium intermedium* n. sp. z pliocenckiej brekcji kostnej, wydobytej w miejscowości Węże w Polsce). — *Acta Palaeont. Pol.*, 2, 1, 1-17, Warszawa.
- SULIMSKI, A. 1959. Pliocene Insectivores from Węże (Owadożerne z pliocenckiej brekcji kostnej z Wężów). — *Ibidem*, 4, 2, 119-176.
- TEILHARD DE CHARDIN, P. & TRASSAERT, M. 1937. The Pliocene Camelidae, Giraffidae and Cervidae of South Eastern Shansi. — *Palaeont. Sinica*, C, 1, 42-54, Nanking.
- THENIUS, E. 1948. Zur Kenntnis der fossilen Hirsche des Wiener Beckens unter besonderer Berücksichtigung ihrer stratigraphischen Bedeutung. — *Ann. Naturhist. Mus. Wien*, 56, 262-308, Wien.
- 1959. Handbuch der stratigraphischen Geologie. 3, 2, 1-328, Stuttgart.
- VIRET, J. 1954. Le loess à bancs durcis de Saint-Vallier (Drôme). — *Nouv. Arch. Mus. Hist. Nat. Lyon*, 4, 105-122, Lyon.
- ZDANSKY, O. 1925. Fossile Hirsche Chinas. — *Palaeont. Sinica*, C, 2, 3, 3-90, Peking.
- 1927. Weitere Bemerkungen über fossile Cerviden aus China. — *Ibidem*, 5, 1, 5-19.

TERESA CZYZEWSKA

NOUVELLE ESPÈCE DE CERVIDÉ DU GENRE *CERVO CERUS* KHOMENKO
DE LA BRÈCHE PLIOCÈNE DE WĘŻE PRÈS DE IDZIAŁOSZYN

Résumé

INTRODUCTION

De la brèche osseuse pliocène qui remplissait une caverne karstique à Węże et dont on a décrit déjà de nombreux restes de Vertébrés, on a réussi à préparer dernièrement des os appartenant à un Cervidé que l'auteur assigne à une espèce

nouvelle du genre *Cervocerus* Khomenko, en le décrivant sous le nom de *Cervocerus wenzensis* n. sp. Parmi les restes de Cervidés, rencontrés jusqu'ici dans la brèche, prédominent les individus jeunes, souvent sans bois, ce qui rend probable la supposition qu'il s'agit là des victimes des Carnivores.

DESCRIPTION

Famille **Cervidae** Gray, 1821

Sous-famille **Cervinae** Baird, 1857

Genre *Cervocerus* Khomenko, 1913

Cervocerus wenzensis n. sp.

(pl. 1-IV; fig. 2-6; tabl. 1-8)

Holotype: spécimen No. 220, comprenant un crâne incomplet d'un mâle à bois gauche entier et bois droit fragmentaire; à ce crâne appartiennent aussi deux fragments de mandibule (pl. II, fig. 1-2 et pl. III).

Paratype: spécimen No. 345, consistant en un crâne incomplet de femelle.

Matériaux. — Ils consistent en 9 fragments de crânes de 9 individus, 9 fragments de maxillaires à dents, 12 fragments de mandibules à dents, 10 fragments de bois. La plupart de ces restes furent extraits de la brèche grise (Samsonowicz, 1934) qui se trouvait dans la caverne sous la brèche rouge.

Crâne (pl. I; pl. II, fig. 1; pl. III; pl. IV, fig. 1). Les mieux conservés sont les crânes: No. 220 (mâle) pourvu de bois, et No. 345 (femelle) sans bois. Tous les deux sont dépourvus de la région occipitale ainsi que de la partie antérieure du museau. Les mensurations indiquent qu'il s'agit là d'un Cervidé n'excédant pas sensiblement la taille du chevreuil.

Le frontal est assez large, en particulier chez le mâle, mais peu bombé en arrière. Le sillon supraorbitaire, assez profond, se prolonge en arrière de l'unique petit foramen supraorbitaire. Le bord supérieur de l'orbite ressort fortement sur les côtés.

Les pédicules sont dirigés vers l'arrière et fléchis légèrement vers l'extérieur. Leur diamètre à la base atteint $20,5 \times 20,0$ mm, et au-dessous de la meule — $18,7 \times 18,7$ mm; la longueur du pédicule au-dessus du frontal du côté interne est de 25,5 mm. Les dimensions du frontal sont données dans le tableau 1 (p. 286).

L'orbite est grande, mais son diamètre antéro-postérieur est moindre que la longueur antéro-postérieure maxima du lacrymal. La fosse lacrymale, située à proximité du bord de l'orbite, occupe la plus grande partie de l'os lacrymal. Elle est subtriangulaire, de dimension moyenne, profonde, séparée du hiatus lacrymal par un rebord droit, mince, obliquement dirigé. La position des foramens lacrymaux est caractéristique: le foramen supérieur est poussé vers l'intérieur de l'orbite et l'inférieur situé sur la partie faciale du lacrymal où il forme une profonde entaille. Les mensurations de l'orbite et du lacrymal sont données dans le tableau 2 (p. 287).

Le maxillaire forme le bord de la fosse lacrymale, laquelle est placée presque en entier sur l'os lacrymal. La hauteur du maxillaire au-dessous de la fosse lacrymale est faible. Dans la partie antérieure la marge interalvéolaire, qui s'étend entre P² et C, s'infléchit vers la ligne médiane beaucoup moins que chez *Muntiacus*. Sur le crâne No. 220 la distance moindre entre les rebords droit et gauche atteint 14 mm; elle est plus grande que la longueur de P² qui est égale à 12,4 mm. Chez *Muntiacus* cette distance est moindre que la longueur de P² (6,5 et 9,00 mm). Ces rebords sont courbés chez *Cervocerus wenzensis* n. sp. d'une façon analogue comme cela a lieu chez le jeune *Pseudaxis*. Chez *Cervus elaphus* ou chez *Capreolus* la distance mentionnée est sensiblement plus grande. Les mensurations du maxillaire sont données dans le tableau 3 (p. 288).

Les nasaux du crâne No. 220 n'atteignaient pas la ligne entre les bords antérieurs de l'orbite.

La bulle tympanique n'est pas grande. Elle est lisse, convexe, ne s'élevant pas au-dessus du basioccipital; le processus musculaire est petit et le méat acoustique externe allongé, sans traces d'une crête.

Le crâne est caractérisé en général par le faible bombement du front au-dessus des orbites, son profil étant presque droit. Il est relativement bas et étroit.

Dentition et mandibule (pl. II, fig. 1-2; pl. IV, fig. 1). La dentition est d'un type primitif, les dents étant peu élevées, à parois fortement inclinées. Dans le crâne du mâle (No. 220) est conservé l'alvéole d'une canine, à diamètre de 5,7 × 6,2 mm.

Les prémolaires supérieures ont les parois internes divisées par un faible sillon et pourvues d'enfoncements à lamelles d'émail courbées vers l'arrière. Sur certaines prémolaires on peut observer un cingulum du côté interne. Les molaires supérieures se distinguent toujours par la présence des bifurcations aux terminaisons internes des croissants. Les mensurations des dents supérieures sont données au tableau 4 (p. 290-291). En général on peut dire que la dentition du cerf de Weże est voisine de celle du chevreuil.

La paroi interne du P₄ est formée par l'aplatissement du métaconide. De cette façon, dans la partie antérieure de la dent, a pris origine une fossette entièrement fermée, entourée du côté lingual par le métaconide, du côté labial par le protoconide et en arrière par le hypo- et endoconide.

Une morphologie semblable du P₄ caractérise le chevreuil (fig. 2). Sur les tubercules antérieurs externes de M₁ et M₂ on peut observer presque toujours le pii palaeomeryxoïde, faiblement marqué. Les mensurations des dents inférieures sont données au tableau 5, et celles de la mandibule — au tableau 6 (p. 292-293 et 295). La hauteur des dents mandibulaires est semblable à la hauteur de ces dents chez le chevreuil.

Bois (pl. III; pl. IV, fig. 2-4). A l'exception du crâne No. 220, les bois ne se sont conservés qu' à l'état fragmentaire. Sur le crâne No. 220, qui semble correspondre à un individu jeune, les bois sont élancés, gracieusement arqués vers l'extérieur,

à deux andouillers. Ce sont probablement les troisièmes bois. Les meules sont saillantes, composées par une seule rangée de tubercules de grandeur variable, disposés obliquement par rapport au pédicule et au merrain. Au-dessus de la meule, le merrain est dirigé vers l'extérieur et vers l'arrière. Il n'est pas perlé. Les mensurations de la meule sont données au tableau 7 (p. 296). La section transversale du merrain au-dessus de la meule est arrondie (fig. 4), mais vers le haut elle devient de plus en plus aplatie du côté externe (fig. 5) et s'infléchit vers l'extérieur et vers le haut.

Le premier andouiller est court et placé très haut au-dessus de la meule, presque dans le prolongement du merrain, formant avec le pédicule un angle d'environ 35°. La bifurcation terminale se trouve à 92 mm au-dessus de la base du premier andouiller. Elle comprend un rameau antérieur, s'étendant dans le prolongement du merrain et dirigé vers l'intérieur et vers le haut, et un rameau postérieur, plus petit, formant avec le merrain un angle de 45°. C'est le type d'un bois inadaptatif.

Le long du bord antérieur du merrain, à partir du premier andouiller, court vers le bas un profond sillon correspondant au vaisseau sanguin. La surface des bois est presque lisse; ce n'est qu'au-dessus de la meule qu'on peut observer de faibles sillons parallèles. Les mensurations du merrain sont rassemblées dans le tableau 8 (p. 298).

COMPARAISON DU CERF DE WEŻE AVEC D'AUTRES CERVIDAE

Le fait que le premier andouiller du cerf de Weże est placé haut au-dessus de la meule ne permet de le comparer qu'avec les cerfs de l'Eurasie aux bois semblables de la sous-famille des Cervinae. Par conséquent, l'abstraction peut être faite des genres *Cervus*, *Axis* et *Dama*.

Tout en ressemblant aux bois du chevreuil, ceux de *Cervocerus wenzensis* n. sp. s'en distinguent par différents caractères. Ainsi le merrain y présente un sensible aplatissement au-dessous du premier andouiller, tandis qu'il est arrondi chez le chevreuil. En outre, ce merrain est lisse au lieu d'être perlé. Dans son ensemble les bois sont plus robustes et plus épais que chez le chevreuil.

Les dents de ces deux Cervinés se ressemblent tant par leurs dimensions que par leur forme. Mais la dentition du cerf de Weże se distingue par la présence de la canine supérieure et par des traces du pli palaeomeryxoïde. Le crâne du chevreuil est relativement élevé, à front convexe, à fosse lacrymale large, mais peu profonde, à bulle tympanique petite, angulaire, à court méat acoustique externe. Par contre, celui du cerf de Weże est surbaissé, à fosse lacrymale profonde et triangulaire, à bulle tympanique convexe et lisse avec un long méat acoustique externe. Etant donné ces différences et malgré une certaine ressemblance de la dentition et des bois, il faut admettre que le cerf de Weże appartient à une lignée évolutive des Cervidés, différente de celle du chevreuil.

Dans le Pliocène supérieur ont existé des cerfs primitifs n'appartenant pas aux

Cervulinae typiques, mais ressemblant par certains caractères au chevreuil; tels furent *Cervus australis* de Serres et *Cervus cusanus* Cr.

Cervus australis, connu de Montpellier, de Casino, de Roussillon et d'autres localités, est plus petit que le cerf de Węże, la longueur de ses dents P_2-M_3 n'atteint que 61-71 mm (Gervais, 1848-52), contre 70-76,3 mm chez le cerf de Węże. Les bois de *C. australis* étaient droits, à un seul andouiller attaché, comme chez le cerf de Węże, haut au-dessus de la meule et dirigé vers le haut. Ses bois étaient aussi épais et robustes. Teilhard de Chardin et Trassaert (1937) voient dans *C. australis* de Roussillon un représentant du genre *Paracervulus*, voisin de *Paracervulus bidens* de Chine. Thenius (1948) pense que *C. australis* s'apparente aux cerfs du genre *Euprox* qui constitueraient la souche de tous les Pliocervinae.

Cependant *Cervus cusanus*, considéré par certains auteurs (Dawkins, 1878; Thenius, 1948; Bout & Azzaroli, 1952) comme un ancêtre du chevreuil, n'appartenait pas aux cerfs télémétacarpiciens (Schaub, 1943) et par conséquent sa parenté avec le chevreuil ne pouvait pas être très intime. Les bois du cerf de Węże sont du même type que ceux de *C. cusanus*, tout en se distinguant par un merrain plus mince et plus élancé, par leur courbure en forme de lyre et par leur surface lisse. La dentition est aussi semblable dans les deux cas, mais ni Depéret, ni Dawkins (1878) ne mentionnent pas la présence chez *C. cusanus* du pli palaeoméryxoïde aux molaires inférieures. Prenant en considération ces différences, il faut conclure que le cerf de Węże représente une espèce distincte de *C. cusanus*. Dans le tableau 9 sont assemblées les mensurations des bois et de la dentition de *Cervocerus wenzensis* n. sp. et de *Cervus cusanus* Cr. (p. 303).

La dentition du cerf de Węże s'approche aussi de celui de *Cervus ramosus* Cr. & Job., surtout en ce qui concerne la structure du P_4 , qui est presque identique dans les deux cas. Les bois de *C. ramosus* sont, par contre, plus compliqués. Parmi les fragments de bois trouvés à Węże, nous n'avons pas trouvé de pièces appartenant à de tels bois. Par conséquent, il ne semble pas y avoir de rapports directs entre ces deux Cervidés.

La ressemblance entre le cerf de Węże et *Procapreolus loczyi* (Pohlig) du Pliocène inférieur réside dans les caractères suivants: 1) position oblique de la meule, 2) dimensions voisines des bois et des molaires, 3) section carrée ou rhombique du merrain, 4) absence d'ornementation perlée au merrain, 5) présence du pli palaeoméryxoïde sur les M_1 et M_2 , et 6) présence des canines supérieures. Mais à côté de cela il y a aussi d'importantes différences. Chez le cerf de Węże: 1) le premier andouiller est attaché sensiblement plus haut au-dessus de la meule, 2) les andouillers sont orientés selon des angles plus aigus par rapport au merrain, 3) le merrain est plus aplati au point de bifurcation, 4) il y a une grande et profonde fosse lacrymale. Au tableau 10 sont assemblées les mensurations des bois et des dents du cerf de Węże et celles de *Procapreolus loczyi* (p. 304).

Plusieurs caractères permettent d'assigner le cerf de Węże aux Pliocervinae;

ce sont: 1) couronnes des dents basses et à parois très inclinées, 2) croissants des molaires supérieures à terminaisons bifurquées, 3) présence du pli palaeoméryxoïde aux molaires inférieures, 4) bois petit à deux andouillers, le premier attaché très haut au-dessus de la meule. A ce groupe Khomenko (1913) attribue *Cervavitus tarakliensis* Khom., *Cervocerus novorossiae* Khom., et *Procerus variabilis* Alexejev. Le *Cervocerus novorossiae*, représentant typique de ce groupe, et le cerf de Węże ont communs les caractères suivants: 1) présence des canines supérieures, 2) pédicules des bois assez longues, 3) section angulaire du merrain, 4) sillon particulièrement profond du vaisseau sanguin le long de la surface antérieure du merrain et du premier andouiller, 5) crâne aplati à front large et à grande fosse lacrymale triangulaire, 6) grande orbite, 7) un seul foramen supraorbitaire, 8) position des foramens de conduits lacrymaux, séparés par les orbites, de telle sorte que le supérieur est placé à l'intérieur de l'orbite, et l'inférieur — à la face générale de la surface lacrymale.

Ces deux cerfs se distinguent par les caractères suivants: 1) le cerf de Węże est plus petit, 2) la bifurcation terminale de ses bois est du type inadapatif, tandis que chez *C. novorossiae* elle est du type adaptatif¹, 3) les andouillers du cerf de Węże sont courts, placés sous un angle aigu et plus rapprochés l'un de l'autre que chez *C. novorossiae*, 4) P₄ chez *C. novorossiae* présente le plus souvent une morphologie primitive. Cependant Zdansky (1925) a décrit des échantillons de ces dents de Chine (Shansi) à paroi interne très développée. Les mensurations des bois et de la dentition de ces deux cerfs sont assemblées aux tableaux 11 et 12 (p. 306 et 307).

*

Le petit cerf de Węże se distingue des représentants de la sous-famille des Cervulinae par des dents à couronnes plus élevées, par un développement relativement faible des structures à la base des molaires et par les bois plus courts.

Malgré sa ressemblance avec *Capreolus* et *Procapyrolus* par ses bois et sa dentition, il ne peut pas être considéré comme un proche parent de ces genres, car la morphologie de son crâne est bien différente.

Le cerf de Węże appartient à la sous-famille des Cervinae et, suivant toute probabilité, au genre *Cervocerus* Khomenko (si l'on accepte la définition de ce genre donnée par Teilhard de Chardin et Trassaert, 1937). Mais étant donné certaines différences nettes entre le cerf de Węże et *Cervocerus novorossiae*, le premier doit être considéré comme une espèce distincte. Je le désigne sous le nom de *Cervocerus wenzensis* n. sp. (holotype: échantillon No. 220, pl. II, fig. 1-2; pl. III).

(Tous les échantillons décrits se trouvent dans le Laboratoire de Paléozoologie de l'Université de Wrocław).

¹ Une différence analogue se présente aussi chez les diverses espèces du genre *Rusa*.

EXPLICATIONS DES ILLUSTRATIONS

Fig. 1 (p. 288)

Schéma illustrant la courbure des dents P²-M³ chez *A Cervocerus wenzensis* n. sp. (No. 345) et *B Pseudaxis* juv.; grand. nat.

Fig. 2 (p. 294)

Cervocerus wenzensis n. sp., dent P₄ vue par la face occlusale; ca × 6.

Fig. 3 (p. 295)

Cervocerus wenzensis n. sp., section de la mandibule au-dessous de M₃ (No. 137); grand. nat.

Fig. 4 (p. 297)

Cervocerus wenzensis n. sp., sections du merrain des bois au-dessus de la meule: *A* spécimen No. 324 — diamètre 27 × 24,5 mm, *B* spéc. No. 392 — diamètre 20,5 × 19 mm; grand. nat.

Fig. 5 (p. 297)

Cervocerus wenzensis n. sp., sections du merrain des bois au-dessous du premier andouiller: *A* spéc. No. 324 — diamètre 30,5 × 21 mm; *B* spéc. No. 332 — diamètre 26,8 × 16,6 mm; *C* spéc. No. 333 — diamètre 29,4 × 21,2 mm; *D* spéc. No. 220 — diamètre 20 × 14 mm. Section au-dessous du deuxième andouiller: *E* spéc. No. 329 — diamètre 15 × 17 mm.

Fig. 6 (p. 300)

Cervocerus wenzensis n. sp.: reconstitution du crâne en vue latérale, basée sur l'échantillon No. 220; ca × 1/3.

Cervocerus wenzensis n. sp.

Pl. I

Crâne No. 345, en vue latérale, paratype; grand. nat.

Pl. II

Fig. 1. Partie antérieure du crâne, voûte palatine et dentition supérieure (No. 220, holotype); grand. nat.

Fig. 2. *a* Branche droite de la mandibule, vue par les faces externe et occlusale (No. 220, holotype), *b* même spécimen vu par en dessus; grand. nat.

Pl. III

Crâne à conservés (No. 220, holotype) vu par en dessus, et bois gauche vu du côté externe; × 2/3.

Pl. IV

Fig. 1. Fragment du maxillaire gauche, vu du côté interne (No. 394); grand. nat.

Fig. 2. Fragment du bois avec la meule (No. 324); grand. nat.

Fig. 3. Fragment du bois (No. 328); grand. nat.

Fig. 4. Fragment du bois (No. 329); grand. nat.

ТЕРЕСА ЧИЖЕВСКА

НОВЫЙ ВИД *CERVOCERUS* КНОМЕНКО ИЗ ПЛИОЦЕНОВОЙ КОСТНОЙ
БРЕКЧИИ ИЗ МЕСТНОСТИ ВЕНЖЕ БЛИЗЬ ДЗЯЛОШИНА

Резюме

Автор дает описание остатков небольшого оленя, найденного в костной брекчии верхне-плиоценового возраста заполняющей карстовую воронку неподалеку деревни Венже близь Дзялошина.

Этот олень, отнесенный к новому виду рода *Cervocerus*, отличается от типичного представителя рода — *Cervocerus novorossiae* Khomenko — прежде всего меньшей величиной, инадаптивным типом разветвления рогов, более острым углом расположения отростков и меньшим расстоянием между ними.

Несмотря на некоторое сходство типа строения рогов и зубной системы, ввиду принципиальных отличий в строении черепа не может быть речи о близком родстве между оленем из Венжев и представителями рода *Capreolus*. Череп *Cervocerus wenzensis* n. sp. низкий, с глубокой трехугольной предглазничной впадиной (*fossa lacrimalis*). Костный пузырь (*bulla ossea*) средней величины, выпуклый и гладкий, с длинным наружным слуховым проходом (*meatus acusticus externus*).

Cervus cusanus Cr. имеет рога такого же типа как и олень из Венжев, но ряд особенностей указывает на то, что оба оленя принадлежат к разным видам. Рога из Венжев значительно стройнее и тонче рогов *C. cusanus*. Резьба на них скудная. Они не являются простыми, но выше розетки изгибаются к наружи. Ввиду отсутствия описания черепа *C. cusanus*, сравнение его строения невозможно.

Cervocerus wenzensis n. sp. является в фауне из Венжев, повидимому также как и *Agriotherium*, пережитком из более раннего периода.



Cerniceius wenzczius n. sp.
Czaszka widziana z boku, okaz Nr 345, paratyp; wielk. nat.



Cervocerus wenzensis n. sp.

Fig. 1: Przednia część czaszki od strony podniebienia. Fig. 2: Fragment prawej żuchwy a od strony zewnętrznej, b od góry (okaz Nr 220, holotyp): wielk. nat.



Cervocerus wenzensis n. sp.
Czaszka z zachowanym porożem (okaz Nr 220, holotyp) widziana od góry i lewy
róg od strony zewnętrznej; \times 23.



1



2



4



3

Cervccerus wenzensis n. sp. Fig. 1: Fragment szczęki górnej od strony wewnętrznej (okaz Nr 394). Fig. 2: Fragment rogu z rózą (Nr 324). Fig. 3 i 4: Fragmenty rogu (okazy Nr 328 i 329); wielk. nat.